

早稲田大学 大学院 学生員 小泉 淳
早稲田大学 理工学部 正員 村上博智

1. まえがき 筆者らはセグメント継ぎを回転バネに評価し、千鳥組による添接効果を数値解析上、仮想外力という形で評価して数値実験を行い、セグメントリングの耐荷機構を明らかにするとともに、セグメントの設計方法についてもその方針を示した。⁽¹⁾ それによれば要求されるセグメント継手の強さやセグメントリングの組み方は、地盤反力係数危の大小に基づいて定めることができる。この報告は筆者らの方法によって周辺地山の状況を3つに分けてそれぞれの場合について設計されたセグメント断面と、慣用計算法に準拠して設計されてる土木学会・下水道協会共編「シールド工事用標準セグメント」⁽²⁾の数例を比較し、検討を始めたものである。

2. 設計例 計算に用いた構造系ならびに荷重系のモデルはその概略を図1、図2に示す。周辺地山の状況に応じて表1に示す3通りの設計条件を設定した。なお従来の慣用計算法とはセグメントリングの変形に対する許容基準が全くため、現場における施工上の経験に基いて、表1中の最大許容直徑変化量 δ はリング外径Dの0.5%以内と仮定した。

(1) 設計例I (周辺地山が良好な場合)

a) 慣用計算法によれば鋼製標準セグメントNo.57、図3-a)がその設計断面となる。この場合 $\sigma_{max} = 1,160 \text{ kg/cm}^2$ である。(No.56、図3-b)の断面では $\sigma_{max} = 2,400 \text{ kg/cm}^2$ となる。)

b) 図3-a)をオーナー試験断面として、1モルダで計算を行うと結果が図4-a)である。最大直徑変化量 δ も最大曲げ圧縮応力 σ も充分許容内に入っていることがわかる。断面を一段階落として図3-b)について試算を行うと図4-b)となり、 δ 、 σ とともにまだ余裕があることがわかる。そこでさらに図3-c)、d)の断面についても試算を行うと図4-c)、1モルダが得られ、この両者を検討した結果、ジャッキ推力に対するセグメン

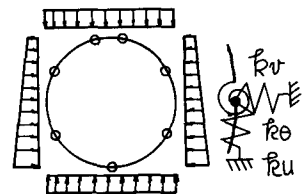


図1 モデル化したリング

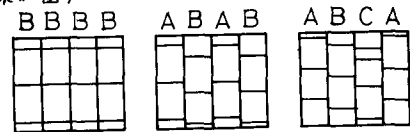


図2 リングの組み方

トの挙動も考慮させて、図3-c)の断面が妥当と判断される。この場合継手は無次元化された継手の曲げ剛性 $K = 2$ (回転バネ定数たとえ $1.64 \times 10^7 \text{ kg/cm}$)以下に設計されれば、 δ もも許容限界内となる。

(2) 設計例II (周辺地山が中間的な場合)

a) 慣用計算法によれば鋼製標準セグメントNo.58、図3-e)に示す断面が $\sigma_{max} = 1,410 \text{ kg/cm}^2$ で安全率を考慮すればさりざりして採用できる。

b) 図3-e)の同じ断面で、1モルダ・2リング千鳥・3リング千鳥の各場合を試算すると、図5-a), b), c)となる。1モルダの場合はおよび3リング千鳥組の場合には δ 、 σ ともに充分な余裕があるが、2リング千鳥組の場合は、 δ につれては設計計算内であるが σ につれては実用上の継手範囲を考えると不適当であり、この断面を用いて2リング千鳥組とするには無理があると考えられる。次に1モルダおよび3リング千鳥組の場合に一段階落とした断面、図3-a)について試算を行うと図5-d), e)となり、1モルダの場合は $\delta = 7.2\%$ 以下、3リング千鳥組の場合は $\delta = 16\%$ 以下であれば δ 、 σ ともに許容限界内であることがわかる。この結果変形および応力の程度からには継手設計の難易度を考慮して、1モルダでは $\delta = 1.08 \times 10^{6.18} \text{ kg/cm}$ 程度の継手を設計すればこの図3-a)の断面が妥当である。

(3) 設計例III (周辺地山の悪い場合)

a) 標準セグメントによれば図3-a)に示す断面に対して $\sigma_{max} = 1,390 \text{ kg/cm}^2$ である。

b) 同じ図3-a)の断面で1モリヤ・2リング千鳥・3リング千鳥の各場合を試算した結果を図6-a), b), c)に示す。1モリヤの場合には許容内であるが、よりかなり強い継手($\tau_0 = 5.92 \times 10^6 \text{ kg/cm}$)を設計しなければ許容内とはならない。2リング千鳥組の場合には、より許容内であるが、実用上の継手を考えると許容応力を越えてしまう。3リング千鳥組の場合には、よりともに許容内に入ってしまい、継手はその実用設計範囲を考えて、 $\tau_0 = 1.08 \times 10^6 \text{ kg/cm}$ 程度が合理的である。

3. 筆者らの方法による断面と慣用計算法による断面の比較

表1 設計条件

Case	$D_o(\text{cm})$	H/D_o	λ	$R(\text{kg/cm})$	$\delta_a(\text{cm})$	$\sigma_a(\text{kg/cm}^2)$
I	3.8	3.0	0.7	8.0	1.9	1400
II	3.8	3.0	0.7	1.0	1.9	1400
III	3.8	2.0	0.7	0.25	1.9	1400

設計例Iでは筆者らの方法によると断面の方が2割程度経済的であった。設計例IIでは1モリヤよりも3リング千鳥組の場合に筆者らの方法は1割程度経済的な断面が得られた。しかししながら2リング千鳥組では一段階上の断面でも危険が生じる可能性が示された。設計例IIIでは慣用法と筆者らの方法と同じ断面を得たが、慣用法の例として取り上げた標準セグメントは2リング千鳥組を考えているため危険が生じる可能性がある。一般に筆者らの方法によれば周辺地山が中程度以上の場合には、従来の方法よりも経済的な断面が得られる。レバレ連に周辺地山が悪い場合には、慣用計算法によって断面を設計した上、それを2リング千鳥組にすると、危険を伴なう可能性があることが示された。

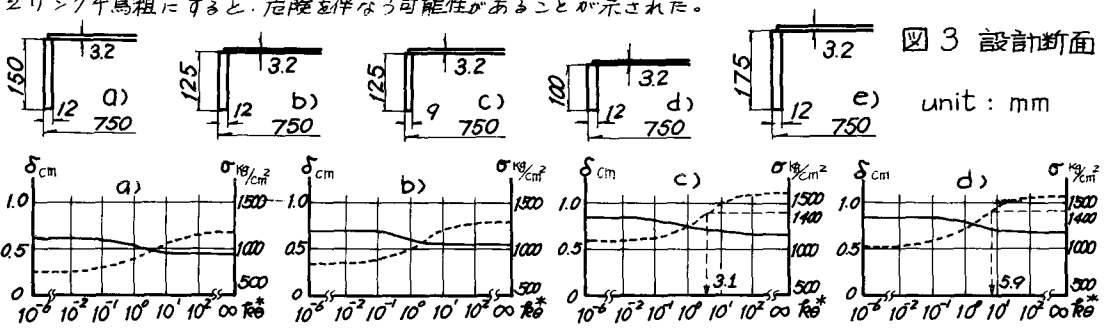


図3 設計断面

4. あとがき

以上により周辺地山および継手の曲げ剛性を考慮したセグメントの断面設計方法を明らかにできた。次の機会には、このようにして求めた回転バネ定数に対してセグメント継手を設計する方法について報告できればと考えている。なおこれらの数値計算は東大型計算機センター、HITAC-8800によった。

* $\tau_0 = 10^7 \text{ kg/cm}$ 以上の継手を得るには、耐候板をかなり厚くしたり、ボルト本数を相当多くしたりする必要があり、不満足か? 作業能率が落ちる。 $\tau_0 = 10^6 \text{ kg/cm}$ 以下では、継手はほとんどヒンジである。

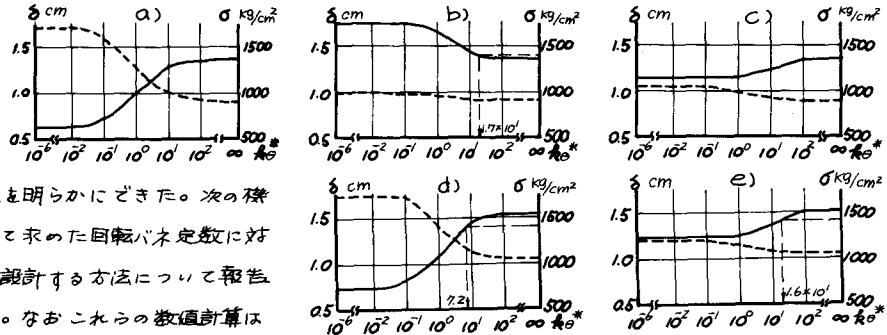


図4 設計例 I

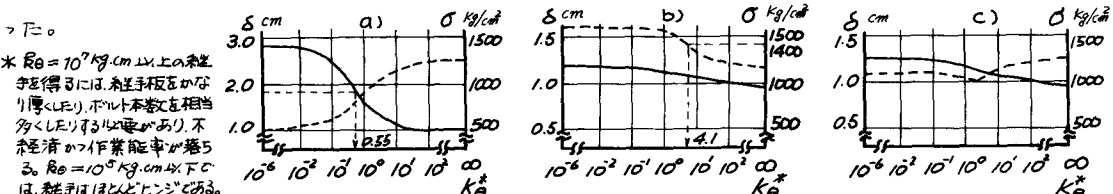


図5 設計例 II

参考文献

- 木村上・小泉：シールドセグメントリングの耐荷機構について、土木学会論文報告集、No. 272, 1978-4.
- 土木学会・下木道協会共編：シールド工事用標準セグメント、1973